

# 有亏格为 1 的 Heegaard 分解的三维流形 中的环面纽结\*

徐 妍<sup>1</sup> 雷逢春<sup>1</sup> 李风玲<sup>2</sup> 梁 良<sup>3</sup>

**提要** 将存在亏格为 1 的 Heegaard 分解  $T_1' \cup_F T_2'$  的三维流形记为  $M = \mathcal{L}(p, q)$ , 其中  $p$  和  $q$  是互素整数,  $q/p$  为  $T_2'$  的纬线在  $T_1'$  上的斜率. 若环面  $F$  上的简单闭曲线  $\gamma$  在  $M$  中不平凡, 则称  $\gamma$  是  $M$  中的环面纽结. 本文对在  $M$  中沿环面纽结作  $m/n$ -Dehn 手术所得流形进行了分类, 并给出了两个实心环体沿边界上平环作融合所得流形是  $\mathcal{L}(p, q)$  中环面纽结补的特征描述.

**关键词**  $H^1$ -分解, 透镜空间, 环面纽结, Seifert 流形

**MR (2000) 主题分类** 57N10

**中图法分类** O189.21

**文献标志码** A

**文章编号** 1000-8314(2024)01-0001-14

## §1 引 言

设  $K$  为  $S^3$  中一个纽结,  $\eta(K)$  是  $K$  在  $S^3$  中的正则邻域,  $\overline{S^3 \setminus \eta(K)}$  是  $K$  在  $S^3$  中的纽结补. Gordon 和 Luecke<sup>[1]</sup> 证明了一个纽结由其在  $S^3$  中的纽结补决定. 称位于  $S^3$  中不打结的环面上的纽结为  $S^3$  中的环面纽结, 每个环面纽结由一对互素整数  $r$  和  $s$  确定. 此外, 环面纽结都是素纽结<sup>[2]</sup>.

透镜空间是一类已经被完全分类了的三维流形<sup>[3]</sup>. Bonahon<sup>[4]</sup> 证明了透镜空间的亏格为 1 的 Heegaard 曲面在合痕意义下是唯一的. Jankins 和 Neumann<sup>[5]</sup> 证明了可以用 Seifert 系数确定透镜空间的类型; 反之, 当给定一个透镜空间  $L(p, q)$ , Geiges 和 Lange<sup>[6-7]</sup> 证明了可以对其 Seifert 纤维结构进行分类. Moser<sup>[8]</sup> 证明了纽结  $K$  在  $S^3$  中的补空间是带有奇异纤维的 Seifert 流形当且仅当  $K$  是一个环面纽结, 还证明了对  $S^3$  中环面纽结作 Dehn 手术可以得到透镜空间. Gabai<sup>[9]</sup> 证明了如果对  $S^3$  沿某个纽结作 Dehn 手术所得流形为  $S^2 \times S^1$ , 那么该纽结一定为平凡结. 此外, 对  $S^3$  沿卫星结做 Dehn 手术也能得到透镜空间<sup>[10-12]</sup>.

将存在亏格为 1 的 Heegaard 分解  $T_1' \cup_F T_2'$  的三维流形记为  $M = \mathcal{L}(p, q)$ , 其中  $p$  和  $q$  是互素整数,  $T_2'$  的纬线在  $T_1'$  上的斜率为  $q/p$ . 显然,  $M$  只能是  $S^3$  (斜率为  $q/1$ ),  $S^2 \times S^1$

本文 2023 年 7 月 6 日收到, 2023 年 12 月 21 日收到修改稿.

<sup>1</sup>大连理工大学数学科学学院, 辽宁 大连 116024. E-mail: xuyanmn@yeah.net; fclei@dlut.edu.cn

<sup>2</sup>通信作者. 大连理工大学数学科学学院, 辽宁 大连 116024. E-mail: fenglingli@dlut.edu.cn

<sup>3</sup>辽宁师范大学数学学院, 辽宁 大连 116029. E-mail: liang-liang@aliyun.com

\*本文受到国家自然科学基金 (No.12071051) 的资助.

(斜率为  $1/0$ ) 或透镜空间  $L(p, q)$  ( $|p| > 1$ ). 若环面  $F$  上的简单闭曲线  $\gamma$  在  $M$  中非平凡, 则称  $\gamma$  是  $M$  中的环面纽结. 本文通过环面纽结补  $M_\gamma$  的典型的  $H'$ -分解 (具体定义参见第 2 节) 来研究其结构, 其中  $A$  是真嵌入于  $M_\gamma$  中的平环且分离  $M_\gamma$  为两个实心环体  $T_1$  和  $T_2$ . 一般地, 也将上述流形记为  $\mathcal{T}(r_1, s_1; r_2, s_2)$ , 其中  $s_i/r_i$  是平环  $A$  的核曲线在  $T_i$  上的斜率,  $i = 1, 2$ . 本文的主要结果如下: 定理 3.3 对在  $M$  中沿环面纽结作  $m/n$ -Dehn 手术所得流形进行了分类; 定理 3.4 给出了流形  $\mathcal{T}(r_1, s_1; r_2, s_2)$  是  $\mathcal{L}(p, q)$  中环面纽结补的充要条件.

本文的结构如下: 第 2 节介绍了必要的预备知识和若干引理, 第 3 节给出了主要定理和证明.

## §2 预备知识

本节将回顾三维流形的一些概念和基本事实. 本文中涉及到的三维流形都默认为是紧致可定向的, 未详细定义的概念都是标准的 (见 [3, 13]).

### §2.1 三维流形的 Heegaard 分解和 $H'$ -分解

设  $M$  是一个连通的三维流形,  $F$  是真嵌入于  $M$  中的紧致连通可定向曲面. 若曲面  $F$  把  $M$  切成两个压缩体  $C_1$  和  $C_2$ ,  $\partial_+ C_1 = F = \partial_+ C_2$ , 则称  $M = C_1 \cup_F C_2$  为  $M$  的 Heegaard 分解, 称曲面  $F$  的亏格  $g(F)$  为 Heegaard 分解的亏格.  $M$  的 Heegaard 亏格定义为  $\min\{g : M \text{ 上存在亏格为 } g \text{ 的 Heegaard 分解}\}$ . 众所周知, 任意紧致连通可定向的三维流形上都存在 Heegaard 分解<sup>[14]</sup>.

设  $M$  是一个连通三维流形,  $F$  是真嵌入于  $M$  中的紧致连通曲面. 若  $F$  将  $M$  切成两个柄体  $H_1$  和  $H_2$ ,  $H_1 \cup_F H_2 = M$ ,  $H_1 \cap H_2 = F$ , 则称  $H_1 \cup_F H_2$  是  $M$  的  $H'$ -分解.

显然, 当  $M$  是闭三维流形时, Heegaard 分解和  $H'$ -分解是一致的; 当  $\partial M \neq \emptyset$  时, Heegaard 分解和  $H'$ -分解是  $M$  的不同的分解.

文 [15] 证明了  $H'$ -分解是紧致连通可定向三维流形的普遍结构.

**定理 2.1**<sup>[15]</sup> 任意紧致连通可定向的三维流形上都存在  $H'$ -分解.

设  $H$  是一个柄体,  $J$  是  $\partial H$  上一条简单闭曲线. 若  $J$  与  $H$  中一个本质圆片的边界横截相交于一点, 则称  $J$  是柄体  $H$  的经线. 由 Jaco 加柄定理<sup>[16]</sup> 可以得到下面的命题.

**命题 2.1**<sup>[17]</sup> 设  $H_1 \cup_A H_2$  是三维流形  $M$  的  $H'$ -分解, 其中  $A$  是平环,  $J$  是  $A$  的核曲线.  $M$  是柄体当且仅当  $J$  是  $H_1$  或  $H_2$  的经线.

### §2.2 $\mathcal{L}(p, q)$ 中的环面纽结

设  $T$  为实心环体,  $D$  是  $T$  中一个本质圆片, 称  $m = \partial D$  是  $T$  的纬线. 显然,  $T$  的任意两条纬线都在  $F = \partial T$  上合痕. 设  $l$  是  $F$  上与  $m$  横截相交于一点的简单闭曲线, 即  $l$  是  $T$  的经线, 则  $\{l, m\}$  构成了  $H_1(F)$  的一对标准的生成元曲线, 称为实心环体  $T$  的一对典范曲线.  $H_1(F)$  中的元素  $p[l] + q[m]$  可以看作是一条定向的简单闭曲线  $\gamma$  当且仅当  $p$  和  $q$  是互素的整数, 称  $q/p$  是  $\gamma$  的斜率, 并通常将  $\gamma$  表示为  $\gamma_{(p,q)}$ . 显然,  $\gamma$  是  $F$  上的纬线(或经线) 当且仅当  $\gamma = \gamma_{(0,\pm 1)}$ , 斜率为  $\infty$ (或  $\gamma = \gamma_{(\pm 1,q)}$ , 斜率为一个整数). 当  $p < 0$  时,  $\gamma_{(-p,-q)}$  与  $\gamma_{(p,q)}$  是相同的曲线, 只是方向相反. 在下文中, 称  $\gamma_{(p,q)}$  是关于  $T$  的  $(p, q)$ - 曲线. 当  $p \neq 0$  时,  $\gamma_{(p,q)}$  通常表示满足  $p > 0$  的简单闭曲线.

为简单起见, 下文中通常用曲面  $F$  上的简单闭曲线  $\gamma$  表示它在  $H_1(F)$  中的同调类.

**命题 2.2** <sup>[18, 练习9.4]</sup> 设  $T$  为实心环体,  $p$  与  $q, p'$  与  $q'$  为互素的整数, 且  $p, p' \neq 0$ . 则有下列结论成立:

- (1) 存在同胚  $h_1 : T \rightarrow T$ , 使得  $h_1(\gamma_{(p,q)}) = \gamma_{(p,-q)}$ .
- (2) 对于  $m \in \mathbb{Z}$ , 存在同胚  $h_2 : T \rightarrow T$ , 使得  $h_2(\gamma_{(p,q)}) = \gamma_{(p,q+mp)}$ .
- (3) 存在同胚  $h_3 : T \rightarrow T$ , 使得  $h(\gamma_{(p,q)}) = \gamma_{(p',q')}$  当且仅当  $p = p' \neq 0, q \equiv \pm q' \pmod{p}$ , 或  $p = p' = 0, q, q' = \pm 1$ .
- (4) 对于互素整数  $r$  和  $s, \gamma_{(p,q)}$  与  $\gamma_{(r,s)}$  在  $\partial T$  上横截相交于一点当且仅当  $|\frac{p}{r} \frac{q}{s}| = \pm 1$ .

设  $T_1 \cup_F T_2$  为三维流形  $M$  的一个亏格为 1 的 Heegaard 分解, 其中  $T_1$  和  $T_2$  为实心环体,  $T_1 \cap T_2 = F$  为环面. 设  $h : F \rightarrow F$  为粘合映射, 使得  $T_2$  的纬线同胚于  $T_1$  上的  $(p, q)$ - 曲线  $\gamma_{(p,q)}$ , 则  $M$  可以看作是沿  $\gamma$  往  $T_1$  上添加一个 2- 把柄后, 再沿所得 2- 球面边界分支填充一个实心球所得流形.  $M$  由  $\gamma_{(p,q)}$  完全决定, 记流形  $M$  为  $\mathcal{L}(p, q)$ .

显然,  $\mathcal{L}(0, 1) \cong S^2 \times S^1; \mathcal{L}(1, q) \cong S^3$ ; 当  $p > 1$  时,  $\mathcal{L}(p, q)$  为透镜空间  $L(p, q)$ .

透镜空间已经被完全分类<sup>[3]</sup>:  $L(p, q) \cong L(p, q')$  当且仅当  $q \equiv \pm q' \pmod{p}$  或  $qq' \equiv \pm 1 \pmod{p}$ ;  $L(p, q)$  与  $L(p, q')$  是同伦等价的当且仅当存在  $n \in \mathbb{Z}$ , 使得  $\pm qq' \equiv n^2 \pmod{p}$ .

注意到  $S^3$  是唯一的 Heegaard 亏格为 0 的三维流形, 且只有  $S^2 \times S^1$  和透镜空间的 Heegaard 亏格为 1. 此外, 有下面的 Heegaard 分解唯一性定理成立.

**定理 2.2**<sup>[14]</sup>  $\mathcal{L}(p, q)$  上任意两个同亏格的 Heegaard 曲面是合痕的.

**注 2.1** 1968 年, Waldhausen<sup>[19]</sup> 证明了  $S^3$  和  $S^2 \times S^1$  的 Heegaard 分解唯一性定理; 1983 年, Bonahon<sup>[4]</sup> 证明了透镜空间的 Heegaard 分解的唯一性定理.

由定理 2.2,  $\mathcal{L}(p, q)$  的亏格为 1 的 Heegaard 曲面在合痕意义下是唯一的.

**定义 2.1** 设  $T_1 \cup_F T_2$  为三维流形  $\mathcal{L}(p, q)$  的一个亏格为 1 的 Heegaard 分解,  $\gamma = \gamma_{(r, s)}$  为  $F$  上一条关于  $T_1$  的  $(r, s)$ - 曲线. 若  $\gamma$  不是  $T_1$  和  $T_2$  的纬线, 则称  $\gamma$  是  $\mathcal{L}(p, q)$  中关于  $T_1$  的  $(r, s)$ - 环面纽结.

显然,  $\mathcal{L}(p, q)$  中的环面纽结是非平凡结.

### §2.3 Seifert 流形: 概述

设  $D$  为复平面  $\mathbb{C}$  上的单位圆盘,  $D$  上的点  $x$  用极坐标  $(\theta, r)$  表示, 其中  $r$  为点  $x$  到原点  $O$  的距离,  $\theta$  为点  $x$  的幅角.

设  $p$  和  $q$  为一对互素的整数,  $p > 0$ . 显然, 商空间  $D \times I / (\theta, r, 0) \sim (\theta + 2\pi q/p, r, 1)$  为一个实心环 ( $\cong D \times S^1$ ), 记作  $T_{(p, q)}$ . 记商映射为  $h: D \times I \rightarrow T_{(p, q)}$ . 对于圆心  $O \in D$ ,  $e = h(\{O\} \times I)$  是  $T_{(p, q)}$  中的一条简单闭曲线; 对于  $x = (\theta, r) \in D \setminus \{O\}$ ,  $h((\theta, r, 0) \times I) \cup h((\theta + 2\pi q/p, r, 0) \times I) \cup \cdots \cup h((\theta + 2\pi q(p-1)/p, r, 0) \times I)$  是  $T_{(p, q)}$  中的由  $p$  条简单弧依次首尾相连构成的一条简单闭曲线, 这些简单闭曲线均称为是  $T_{(p, q)}$  的纤维. 称  $T_{(p, q)}$  为一个标准的  $(p, q)$ - 型纤维化实心环. 若  $p > 1$ , 称  $e$  为  $T_{(p, q)}$  的奇异纤维, 称  $T_{(p, q)}$  的非  $e$  纤维为正则纤维. 当  $p = 1$  时,  $T_{(1, q)}$  的每个纤维均为正则纤维, 称  $T_{(1, q)}$  为正常的纤维化实心环.

容易看到,  $T_{(p, q)}$  是它的所有纤维的无交并.

设  $M$  是一个紧致三维流形. 若  $M$  可以分解成一族互不相交的简单闭曲线 (称每个这样的简单闭曲线为一个纤维) 的无交并, 使得每个纤维在  $M$  中有一个管状邻域保纤同胚于一个标准的纤维化实心环, 则称  $M$  为一个 Seifert 流形. 称这一纤维结构为  $M$  的 Seifert 纤维化. 设  $M_1$  和  $M_2$  均为 Seifert 流形, 若存在  $M_1$  到  $M_2$  的微分同胚将  $M_1$  的每个纤维都映到  $M_2$  的纤维, 则称  $M_1$  和  $M_2$  是同构的.

下面描述一种构造 Seifert 流形的方法. 设  $B$  为一个紧致连通的曲面 (未必可定向),  $\mathcal{D} = \{D_1, \dots, D_k\}$  是  $B$  的内部的一个两两不交的圆片组, 记  $B' = B \setminus \mathcal{D}$ . 令  $\rho: M' \rightarrow B'$  为  $B'$  上的一个  $S^1$ - 丛, 并且  $M'$  是可定向的. 若  $B'$  是可定向的, 则  $M' = B' \times S^1$ ; 若  $B'$  是不可定向的, 则  $M' = B' \tilde{\times} S^1$  是  $B'$  上一个扭的  $S^1$ - 丛. 显然,  $B'$  还可以通过粘合圆片  $D^2$  边界上一些不交弧对  $a_j$  和  $b_j$  得到, 并且这些粘合同胚可以保证得到的  $S^1$ - 丛  $M'$  是可定向的: 从  $D^2 \times S^1$  出发, 当  $a_j$  和  $b_j$  是一对反向边时, 用一个保持  $S^1$ - 因子的保向同胚  $h: a_j \times S^1 \rightarrow b_j \times S^1$  来粘合平环  $a_j \times S^1$  和  $b_j \times S^1$ ; 当  $a_j$  和  $b_j$  是一对同向边时, 用一个保持  $S^1$ - 因子的反向同胚  $h: a_j \times S^1 \rightarrow b_j \times S^1$  来粘合平环  $a_j \times S^1$  和  $b_j \times S^1$ . 选取  $M'$  的一个定向, 设  $s: B' \rightarrow M'$  为截面映射 (满足  $\rho \circ s = id$  的连续映射), 将  $B'$  的对应于  $D_i$  的边界分支记为  $d_i$ ,  $\partial M'$  的包含  $\beta_i = s(d_i)$  的环面边界分支记为  $F_i$ , 记  $\alpha_i$  为  $F_i$  上的纤维,  $1 \leq i \leq k$ .  $\{\alpha_i, \beta_i\}$  构成了  $H_1(F_i)$  的一对标准的生成元曲线,  $i = 1, \dots, k$ . 令

$T_i$  为标准实心环,  $c_i$  是其纬线, 对于互素整数  $p_i$  和  $q_i$ , 选取一个同胚  $h_i: \partial T_i \rightarrow F_i$ , 使得  $h_i(c_i) = q_i\alpha_i + p_i\beta_i \in H_1(F_i)$  ( $p_i \neq 0$ ),  $1 \leq i \leq k$ . 将这些同胚  $h_i$  作为粘合映射, 通过这些粘合映射把  $T_1, \dots, T_k$  粘到  $M'$  上, 就得到一个定向的三维流形  $M$ , 并且  $M'$  的纤维结构可以自然地延拓至  $M$ , 使得  $M$  是一个 Seifert 流形. 称  $B$  为  $M$  的底空间, 将 Seifert 流形  $M$  记为  $M(\pm g, b; (p_1, q_1), \dots, (p_k, q_k))$ , 其中  $(+g, b)$  (或  $(-g, b)$ ) 表示  $B$  是亏格为  $g$  有  $b$  个边界分支的可定向曲面 (或不可定向曲面).

文 [3] 中的结论指出任意紧致连通可定向的 Seifert 流形都同构于某一个  $M(\pm g, b; (p_1, q_1), \dots, (p_k, q_k))$ , 并且 Seifert 流形已经被完全分类.

下面给出 Seifert 流形的一些已知结论, 将在第 3 节中用到.

定理 2.3 给出了可定向 Seifert 流形的完全分类, 除定理中所列出的 Seifert 流形之外, 其他所有 Seifert 流形都有唯一的纤维结构.

**定理 2.3**<sup>[3]</sup> 除下面列出的几种流形外, 可定向 Seifert 流形的纤维结构在保纤同构意义下是唯一的:

- (1)  $M(0, 1; (p, q))$ ,  $S^1 \times D^2$  的纤维结构有多样性, 其中  $p$  与  $q$  互素,  $q/p \in \mathbb{Q}$ ;
- (2)  $M(0, 1; (2, 1), (2, 1)) = M(-1, 1; )$ ,  $S^1 \tilde{\times} S^1 \tilde{\times} I$  有两种纤维结构;
- (3)  $M(0, 0; (p_1, q_1), (p_2, q_2))$ ,  $S^3, S^2 \times S^1$  和透镜空间的纤维结构有多样性;
- (4)  $M(0, 0; (2, 1), (2, -1), (p, q)) = M(-1, 0; (q, p))$ , 其中  $p, q \neq 0$ ;
- (5)  $M(0, 0; (2, 1), (2, 1), (2, -1), (2, -1)) = M(-2, 0; )$ ,  $S^1 \tilde{\times} S^1 \tilde{\times} S^1$  有两种纤维结构.

因此,  $\mathcal{L}(p, q)$  是 Seifert 流形: 当底空间是  $S^2$  时, 纤维结构中至多存在两个奇异纤维; 当底空间为  $\mathbb{R}P^2$  时, 纤维结构中至多存在一个奇异纤维.

若一个三维流形是两个扭的  $I$ - 丛沿边界上对应的  $\partial I$ - 丛之并, 则称该流形为一个半丛. 在定理 2.4 中,  $S^1 \tilde{\times} S^1 \tilde{\times} S^1$  是两个 Möbius 上的扭  $I$ - 丛的并, 其对应的  $\partial I$ - 丛是一个平环.

透镜空间是一类至多有两个奇异纤维的 Seifert 流形, 定理 2.4 说明了在给定 Seifert 纤维结构的前提下, 如何确定透镜空间的类型, 即确定  $p$  和  $q$  的值.

**定理 2.4**<sup>[5]</sup> 若 Seifert 流形  $M(0, 0; (p_1, q_1), (p_2, q_2))$  同胚于透镜空间  $L(p, q)$ , 则  $p = \begin{vmatrix} p_1 & p_2 \\ -q_1 & q_2 \end{vmatrix}$ ,  $q = \begin{vmatrix} p_1 & p'_2 \\ -q_1 & q'_2 \end{vmatrix}$ , 其中  $(p'_2, q'_2)$  是  $\begin{vmatrix} p_2 & p'_2 \\ q_2 & q'_2 \end{vmatrix} = 1$  的一组解.

**定理 2.5**<sup>[3]</sup> 设  $M$  为一个可定向的可约 Seifert 流形, 则  $M$  同构于  $S^2 \times S^1$  或  $\mathbb{R}P^3 \# \mathbb{R}P^3$ .

令  $M$  是一个 Seifert 流形,  $S$  是  $M$  中的嵌入曲面. 若  $S$  为  $M$  中若干正则纤维之并, 则称  $S$  是一个竖直曲面; 若  $S$  与  $M$  的所有纤维均横截相交, 则称  $S$  是一个水平曲面. 定理 2.6 表明不可约 Seifert 流形中的本质曲面均合痕于一个水平的或竖直的曲面.

**定理 2.6**<sup>[13]</sup> 设  $M$  为紧致连通不可约的 Seifert 流形, 则  $M$  中任意一个本质曲面都合痕于一个水平曲面或一个竖直曲面.

特别地, 将底空间为 2- 球面且带有三个奇异纤维的 Seifert 流形称为棱镜流形.

### §3 主要结果

设  $T_1 \cup_A T_2$  为三维流形  $M$  的一个  $H^1$ - 分解, 其中  $T_1$  和  $T_2$  均为实心环体,  $A$  是  $M$  中真嵌入的平环, 且  $A$  的核曲线  $\delta$  是关于  $T_i$  的  $(r_i, s_i)$ - 曲线,  $r_i \geq 1, i = 1, 2$ . 将上述流形记为  $\mathcal{T}(r_1, s_1; r_2, s_2), r_1, r_2 \geq 1$ .

显然,  $\partial M$  是环面,  $M$  是以圆片为底空间且至多带有两个奇异纤维的 Seifert 流形.

由命题 2.1 可直接得到如下命题.

**命题 3.1**  $\mathcal{T}(r_1, s_1; r_2, s_2)$  是实心环体当且仅当  $r_1 = 1$  或  $r_2 = 1$ .

**命题 3.2** 假设在三维流形  $M = \mathcal{T}(r_1, s_1; r_2, s_2) = T_1 \cup_A T_2$  中,  $r_1, r_2 \geq 2$ , 则  $M$  不可约且边界不可约, 并且平环  $A$  在  $M$  中是本质的.

**证** 因  $r_1, r_2 \geq 2$ , 由命题 3.1 可知  $M$  不是实心环体.

假设  $M$  是可约的, 则  $M$  中存在本质 2- 球面, 选取其中与  $A$  处于一般位置且相交数最少的 2- 球面, 记为  $P$ . 因  $T_1$  和  $T_2$  都是不可约的, 故  $P$  与  $A$  一定相交非空, 且  $P \cap A$  的每个分支都是  $P$  和  $A$  上的简单闭曲线. 令  $J'$  是  $P \cap A$  在  $P$  上最内的分支. 因  $r_1, r_2 \geq 2$ , 故  $J'$  一定在  $A$  上非本质. 否则,  $J'$  在 2- 球面  $P$  上界定的圆片即为  $A$  在  $M$  中的压缩圆片, 从而  $r_1 = 1$  或  $r_2 = 1$ , 矛盾. 令  $J \in P \cap A$  是在  $A$  上非本质且最内的分支, 即  $J$  界定  $A$  上一个圆片  $\Delta$ , 使得  $P \cap \text{int}(\Delta) = \emptyset$ . 沿  $J$  切开  $P$  可得到两个圆片  $E_1$  和  $E_2$ , 令  $P_1 = E_1 \cup \Delta, P_2 = E_2 \cup \Delta$ , 则 2- 球面  $P_1$  和  $P_2$  中至少有一个为  $M$  中的本质 2- 球面, 不妨设为  $P_1$ . 在  $\Delta$  附近合痕移动  $P_1$ , 将  $P_1$  稍推离  $A$ , 从而  $|P_1 \cap A| < |P \cap A|$ , 与  $P$  的极小性假设矛盾. 因此,  $M$  为不可约三维流形.

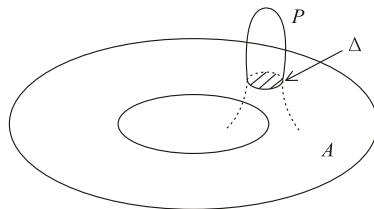


图 1  $P \cap A$

假设  $M$  是边界可约的, 设  $D$  为  $\partial M$  在  $M$  中的压缩圆片. 由  $M$  的不可约性, 将环面  $\partial M$  沿  $D$  做压缩所得 2- 球面一定在  $M$  中界定实心球, 从而  $M$  为实心环体, 与假设条件  $r_1, r_2 \geq 2$  矛盾. 因此,  $M$  边界不可约.

已知  $r_1, r_2 \geq 2$ , 平环  $A$  的核曲线  $\delta$  不是  $T_i$  的纬线,  $i = 1, 2$ . 所以  $A$  在  $T_i$  中不可压缩, 从而  $A$  在  $M$  中不可压缩.

假设  $A$  在  $M$  中是边界平行的, 则  $M$  为实心环体. 由命题 3.1,  $\delta$  是  $T_1$  或  $T_2$  的经线, 即  $r_1 = 1$  或  $r_2 = 1$ , 与假设矛盾.

命题得证.

定理 3.1 表明, 当  $r_1, r_2 \geq 2$  时,  $\mathcal{T}(r_1, s_1; r_2, s_2)$  中的本质分离平环在合痕意义下是唯一的.

**定理 3.1** 假设在三维流形  $M = \mathcal{T}(r_1, s_1; r_2, s_2) = T_1 \cup_A T_2$  中,  $r_1, r_2 \geq 2$ . 若  $A'$  是  $M$  中的本质分离平环, 则  $A'$  与  $A$  在  $M$  中是合痕的.

**证** 已知  $r_1, r_2 \geq 2$ , 由命题 3.1,  $M$  不是实心环体. 由命题 3.2, 平环  $A$  在  $M$  中是本质的. 事实上,  $M$  是以圆片为底空间且带有两个奇异纤维的 Seifert 流形, 记  $M$  的 Seifert 纤维结构为  $\mathcal{M}$ . 特别地,  $A$  在纤维结构  $\mathcal{M}$  中是竖直的平环. 根据假设,  $A'$  是  $M$  中的本质分离平环, 在  $M$  中合痕  $A'$ , 使得  $A'$  与  $A$  处于一般位置, 且在  $M$  的所有本质分离平环中,  $A'$  与  $A$  的相交分支数最少. 由定理 2.6, 可以在  $M$  中进一步合痕  $A'$ , 使得  $A'$  在  $M$  中或者是水平的, 或者是竖直的.

首先假设  $A'$  在  $M$  的纤维结构  $\mathcal{M}$  中是竖直的, 则  $\partial A'$  和  $\partial A$  均由  $\mathcal{M}$  的  $S^1$ -纤维构成, 因此可以假设  $\partial A' \cap \partial A = \emptyset$ , 从而  $A' \cap A$  的分支均为简单闭曲线. 已知  $A'$  和  $A$  均在  $M$  中不可压缩, 若  $A' \cap A$  有分支在  $A$  上非本质, 在  $A' \cap A$  中选取在  $A$  上非本质且最内的分支  $J$ , 则  $J$  在  $A$  上界定圆片  $D_1$ , 使得  $D_1 \cap \text{int}(A') = \emptyset$ . 因  $A'$  在  $M$  中不可压缩, 故  $J$  在  $A'$  上也界定圆片, 记为  $D_2$ . 由于实心环体  $T_1$  和  $T_2$  均不可约, 所以  $D_1 \cup D_2$  在  $T_1$  或者  $T_2$  中界定实心球. 合痕移动  $A'$ , 将  $D_2$  沿该实心球推过  $D_1$ , 即可减少  $|A' \cap A|$ , 与  $|A' \cap A|$  的极小性矛盾. 故  $A' \cap A$  的每个分支在  $A$  和  $A'$  上都本质.

若  $A' \cap A \neq \emptyset$ , 已知  $A$  和  $A'$  均在  $M$  中本质, 则由标准最内圆片法, 我们可以进一步假设  $A' \cap A$  的每个分支都是一条在  $A$  和  $A'$  上均本质的简单闭曲线. 令  $C \in A \cap A'$ , 则  $C$  从  $A'$  上切下一个平环  $A^*$ , 使得  $A \cap \text{int}(A^*) = \emptyset$ . 不妨设  $A^* \subset T_1$ . 将  $A$  沿  $C$  切开得到两个平环, 分别记为  $A_1$  和  $A_2$ . 因  $A^*$  在  $T_1$  中边界平行, 故可以在  $M$  中合痕移动  $A'$ , 使得  $A'$  合痕于平环  $A'' = \overline{A' \setminus A^*} \cup A_1$  或  $\overline{A' \setminus A^*} \cup A_2$ . 进而在  $M$  中合痕移动  $A''$ , 使得  $|A'' \cap A| < |A' \cap A|$ , 这与  $|A' \cap A|$  的极小性相矛盾. 因此,  $A \cap A' = \emptyset$ , 且  $A'$  真嵌入于实心环体  $T_1$  或  $T_2$ .

不妨假设  $A' \subset T_1$ . 注意到实心环体中的本质曲面只有圆片, 因此  $A'$  在  $T_1$  中边界平行. 因  $A'$  在  $M$  中本质, 故  $A'$  与  $A$  在  $M$  中是合痕的. 结论得证.

下面考虑  $A'$  在纤维结构  $\mathcal{M}$  中水平的情况. 由文 [3], Seifert 流形中的水平分离曲面将流形分解为两个不可定向面上的扭  $I$ -丛. 因  $A'$  在  $M$  中是水平的分离平环, 故

$M \setminus A'$  的每个分支都是 Möbius 带上的扭  $I$ - 丛, 即  $M$  是一个半丛, 且  $M \cong S^1 \widetilde{\times} S^1 \widetilde{\times} I$ . 由定理 2.3 (2),  $S^1 \widetilde{\times} S^1 \widetilde{\times} I$  具有两种纤维结构, 分别为  $M(0, 1; (2, 1), (2, 1))$  和  $M(-1, 1; \cdot)$ . 当  $\mathcal{M} = M(-1, 1; \cdot)$  时,  $A'$  是此纤维结构中的水平分离平环. 设  $M_1$  为  $M \setminus A'$  的一个分支, 则  $M_1$  是 Möbius 带  $B$  上的扭  $I$ - 丛. 因  $A$  在  $\mathcal{M}$  中是竖直的, 故  $A \cap B$  是一条在  $A$  和  $B$  上都本质的简单弧, 沿该简单弧切开  $B$  后仍连通. 从而  $A$  在  $M$  中是非分离的, 与平环  $A$  在  $M$  中的分离性矛盾. 故  $A'$  在  $M$  中水平的情况不会出现.

定理得证.

作为定理 3.1 的直接推论, 下面的推论给出满足  $r_1, r_2 \geq 2$  的三维流形  $\mathcal{T}(r_1, s_1; r_2, s_2)$  的拓扑分类.

**推论 3.1** 设  $M = \mathcal{T}(r_1, s_1; r_2, s_2)$ ,  $M' = \mathcal{T}(r'_1, s'_1; r'_2, s'_2)$ , 满足  $r_1, r_2, r'_1, r'_2 \geq 2$ .  $M$  与  $M'$  同胚当且仅当  $r_1 = r'_1$ ,  $r_2 = r'_2$ , 且  $s_1 \equiv \pm s'_1 \pmod{r_1}$ ,  $s_2 \equiv \pm s'_2 \pmod{r_2}$ ; 或  $r_1 = r'_2$ ,  $r_2 = r'_1$ , 且  $s_1 \equiv \pm s'_2 \pmod{r_1}$ ,  $s_2 \equiv \pm s'_1 \pmod{r_2}$ .

**证** 假设  $M = \mathcal{T}(r_1, s_1; r_2, s_2) = T_1 \cup_A T_2$ ,  $M' = \mathcal{T}(r'_1, s'_1; r'_2, s'_2) = T'_1 \cup_{A'} T'_2$ .

若存在同胚  $h: M \rightarrow M'$ , 则由定理 3.1,  $h(A)$  在  $M'$  中合痕于  $A'$ . 因此  $M$  同胚于  $M'$  当且仅当存在同胚

$$h' : (M; (T_1, A, T_2)) \rightarrow (M'; (T'_1, A', T'_2))$$

或

$$h' : (M; (T_1, A, T_2)) \rightarrow (M'; (T'_2, A', T'_1)).$$

由命题 2.2, 结论成立.

接下来考虑环面纽结在  $\mathcal{L}(p, q)$  中的补空间.

设  $T'_1 \cup_F T'_2$  为  $\mathcal{L}(p, q)$  的亏格为 1 的 Heegaard 分解,  $\gamma \subset F$  是关于  $T'_1$  的  $(r, s)$ - 环面纽结,  $\eta(\gamma) \subset \mathcal{L}(p, q)$  是  $\gamma$  在  $\mathcal{L}(p, q)$  中的正则邻域, 满足  $\eta(\gamma) \cap F = A'$  是  $F$  上一个平环. 记  $\mathcal{L}(p, q)_\gamma = \overline{\mathcal{L}(p, q)} \setminus \eta(\gamma)$  为纽结  $\gamma$  在  $\mathcal{L}(p, q)$  中的补空间, 记  $T_1 = T'_1 \cap \mathcal{L}(p, q)_\gamma$ ,  $T_2 = T'_2 \cap \mathcal{L}(p, q)_\gamma$ ,  $A = \overline{F \setminus A'} = T_1 \cap T_2$ , 则  $T_1$  和  $T_2$  均为实心环体,  $A$  为平环. 因此,  $\mathcal{L}(p, q)_\gamma$  上存在  $H'$ - 分解  $T_1 \cup_A T_2$ , 称此分解为  $\mathcal{L}(p, q)_\gamma$  的典型的  $H'$ - 分解, 称  $A$  为  $\mathcal{L}(p, q)_\gamma$  的典型的  $H'$ - 分解平环.

由环面纽结的定义,  $\gamma$  是  $\mathcal{L}(p, q)$  中的非平凡结, 故平环  $A$  在  $T_1$  和  $T_2$  中都不可压缩. 平环  $A$  的核曲线  $\delta$  是关于  $T_1$  的  $(r, s)$ - 型曲线, 因此  $\mathcal{L}(p, q)_\gamma$  是三维流形  $\mathcal{T}(r, s; r', s')$ . 由命题 3.1 可知,  $\mathcal{L}(p, q)_\gamma$  是实心环体当且仅当  $r = 1$  或  $r' = 1$ .

在  $\mathcal{L}(p, q)_\gamma = T_1 \cup_A T_2$  中, 若  $A$  的核曲线  $\delta$  是关于  $T_1$  的  $(r, s)$ - 曲线, 那么  $\delta$  关于  $T_2$  是什么曲线类型?

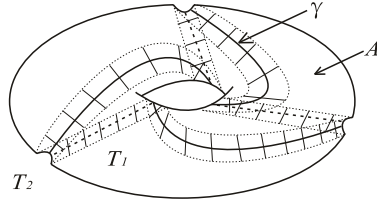


图 2  $\gamma$  是关于  $T_1$  的  $(2, 3)$ - 环面纽结

**定理 3.2** 设  $T_1 \cup_A T_2$  为三维流形  $M = \mathcal{L}(p, q)_\gamma$  的典型的  $H'$ - 分解,  $\gamma$  是关于  $T_1$  的  $(r, s)$ - 环面纽结. 则  $A$  的核曲线  $\delta$  是关于  $T_2$  的  $(\varepsilon(rq - sp), \varepsilon(sp' - rq'))$ - 曲线, 其中  $\varepsilon = \pm 1, |rq - sp| \geq 1, (p', q')$  是  $|\begin{smallmatrix} p & q \\ p' & q' \end{smallmatrix}| = \pm 1$  的一组解.

**证** 设  $T'_1 \cup_h T'_2$  是  $\mathcal{L}(p, q)$  的亏格为 1 的 Heegaard 分解,  $\{\alpha_i, \beta_i\}$  为实心环体  $T'_i$  的一对典范曲线,  $i = 1, 2, h : \partial T'_2 \rightarrow \partial T'_1$  是满足  $h_*(\beta_2) = p\alpha_1 + q\beta_1$  的同胚. 因  $T_1 \cup_A T_2$  为  $M$  的典型的  $H'$ - 分解, 故只需要考虑  $\delta$  在  $T'_2$  上的曲线类型.

假设  $h_*(\alpha_2) = p'\alpha_1 + q'\beta_1$ , 其中  $p'$  和  $q'$  为互素的整数. 由于  $|\alpha_2 \cap \beta_2| = 1$ , 所以  $|h_*(\alpha_2) \cap h_*(\beta_2)| = 1$ , 由命题 2.2 (4),  $h_*$  的伴随矩阵  $P = \begin{pmatrix} p' & q' \\ p & q \end{pmatrix}$  满足  $\det P = \pm 1$ . 因此,

$$h_* \begin{pmatrix} \alpha_2 \\ \beta_2 \end{pmatrix} = P \begin{pmatrix} \alpha_1 \\ \beta_1 \end{pmatrix},$$

$$h_*^{-1} \begin{pmatrix} \alpha_1 \\ \beta_1 \end{pmatrix} = P^{-1} \begin{pmatrix} \alpha_2 \\ \beta_2 \end{pmatrix} = \pm \begin{pmatrix} q & -q' \\ -p & p' \end{pmatrix} \begin{pmatrix} \alpha_2 \\ \beta_2 \end{pmatrix} = \varepsilon \begin{pmatrix} q & -q' \\ -p & p' \end{pmatrix} \begin{pmatrix} \alpha_2 \\ \beta_2 \end{pmatrix},$$

其中  $\varepsilon = \pm 1$ . 从而有

$$h_*^{-1}(\delta) = h_*^{-1}(r\alpha_1 + s\beta_1) = \begin{pmatrix} r & s \end{pmatrix} h_*^{-1} \begin{pmatrix} \alpha_1 \\ \beta_1 \end{pmatrix}$$

$$= \varepsilon \begin{pmatrix} r & s \end{pmatrix} \begin{pmatrix} q & -q' \\ -p & p' \end{pmatrix} \begin{pmatrix} \alpha_2 \\ \beta_2 \end{pmatrix}$$

$$= \varepsilon((rq - sp)\alpha_2 + (-rq' + sp')\beta_2).$$

若  $rq - sp = 0$ , 则  $\frac{q}{p} = \frac{s}{r}$ , 即  $\gamma$  在  $T_1$  上的斜率为  $\frac{q}{p}$ . 故  $\gamma$  在  $T_2 \subset \mathcal{L}(p, q)$  中界定圆片, 与  $\gamma$  是  $\mathcal{L}(p, q)$  中的非平凡结矛盾. 因此  $|rq - sp| \geq 1$ .

综上所述,  $h_*^{-1}(\delta)$  在  $\partial T'_2$  上的斜率为  $(-rq' + sp')/(rq - sp)$ , 即  $\delta$  是关于  $T_2$  的  $(\varepsilon(rq - sp), \varepsilon(sp' - rq'))$ - 曲线.

定理得证.

结合命题 3.1 和定理 3.2, 有如下推论.

**推论 3.2** 设  $\gamma$  是  $\mathcal{L}(p, q)$  中关于  $T_1$  的  $(r, s)$ - 环面纽结,  $T_1 \cup_A T_2$  是  $\mathcal{L}(p, q)_\gamma$  的典型的  $H'$ - 分解. 则  $\mathcal{L}(p, q)_\gamma$  是流形  $\mathcal{T}(r, s; \varepsilon(rq - sp), \varepsilon(sp' - rq'))$ ,  $\varepsilon = \pm 1, |rq - sp| \geq 1$ , 且  $(p', q')$

是  $|\frac{p}{p'} \frac{q}{q'}| = \pm 1$  的一组解. 特别地,  $\mathcal{L}(p, q)_\gamma$  是实心环体当且仅当  $r = 1$  或  $|rq - sp| = 1$ .

设  $M$  为三维流形,  $K$  是  $M$  内部的一个纽结,  $\eta(K)$  是  $K$  在  $M$  中一个紧致正则邻域. 记  $M_K = \overline{M \setminus \eta(K)}$  为纽结  $K$  的补空间,  $F = M_K \cap \partial\eta(K)$  为环面. 选取  $\eta(K)$  的一对典范曲线  $\{\alpha, \beta\} \subset F$ , 其中  $\alpha$  和  $\beta$  分别为  $\eta(K)$  的经线和纬线. 令  $h: F = \partial\eta(K) \rightarrow F = \partial M_K$  为同胚的, 使得  $\beta$  在  $h$  下的同胚像是斜率为  $m/n \in \mathbb{Q} \cup \{\infty\}$  的曲线  $\gamma_{(n, m)}$  ( $h(\beta) = n\alpha + m\beta$ ). 显然, 流形  $M' = M_K \cup_h \eta(K)$  由  $m/n$  完全决定. 称  $M'$  为对  $M$  沿纽结  $K$  作  $m/n$ -Dehn 手术所得流形, 其中  $m/n$  称为 Dehn 系数.

仍沿用上面的记号  $\gamma = \gamma_{(r, s)}$  和  $\mathcal{L}(p, q)_\gamma$ . 当  $r = 1$  或  $|rq - sp| = 1$  时,  $\mathcal{L}(p, q)_\gamma$  为实心环体, 此时对  $\mathcal{L}(p, q)$  沿  $\gamma$  作 Dehn 手术所得流形  $M'$  为  $S^3$ ,  $S^2 \times S^1$  或透镜空间.

考虑  $r, |rq - sp| \geq 2$  情形下, 定理 3.3 对  $\mathcal{L}(p, q)$  中沿  $(r, s)$ - 环面纽结作 Dehn 手术所得流形进行了分类.

**定理 3.3** 设  $\gamma$  为  $\mathcal{L}(p, q)$  中的  $(r, s)$ - 环面纽结,  $r \geq 2$  且  $|rq - sp| \geq 2$ ,  $M'$  为对  $\mathcal{L}(p, q)$  沿  $\gamma$  作  $m/n$ -Dehn 手术所得流形, 则下列结果之一成立:

(1)  $|m| > 1$  当且仅当  $M'$  为棱镜流形, 此时

$$M' \cong M(0, 0; (r, s), (\varepsilon(rq - sp), \varepsilon(sp' - rq')), (m, n)),$$

其中  $\varepsilon = \pm 1$ ,  $(p', q')$  是  $|\frac{p}{p'} \frac{q}{q'}| = \pm 1$  的一组解;

(2)  $|m| = 1$  当且仅当  $M'$  为透镜空间  $L(p_*, q_*)$ , 其中  $p_* = \begin{vmatrix} r & \varepsilon(rq - sp) \\ -s & \varepsilon(sp' - rq') \end{vmatrix}$ ,  $q_* = \begin{vmatrix} r & p'_2 \\ -s & q'_2 \end{vmatrix}$ ,  $\varepsilon = \pm 1$ ,  $(p'_2, q'_2)$  是  $|\frac{\varepsilon(rq - sp)}{\varepsilon(sp' - rq')} \frac{p'_2}{q'_2}| = 1$  的一组解,  $(p', q')$  是  $|\frac{p}{p'} \frac{q}{q'}| = \pm 1$  的一组解. 特别地, 当  $n = 0$  时,  $M'$  是透镜空间  $L(p, q)$ ;

(3)  $m = 0$  当且仅当  $M'$  是可约的, 此时  $M'$  是两个透镜空间的连通和,  $M'$  同胚于

$$L(r, s) \# L(\varepsilon(rq - sp), \varepsilon(sp' - rq')),$$

其中  $\varepsilon = \pm 1$ ,  $(p', q')$  是  $|\frac{p}{p'} \frac{q}{q'}| = \pm 1$  的一组解.

**证** 令  $M = \mathcal{L}(p, q)_\gamma = \overline{\mathcal{L}(p, q) \setminus \eta(\gamma)} = T_1 \cup_A T_2$ , 其中  $\eta(\gamma)$  为  $\gamma$  在  $\mathcal{L}(p, q)$  中的正则邻域,  $T_1 \cup_A T_2$  是  $M$  的典型的  $H'$ - 分解. 设  $\{\alpha_i, \beta_i\}$  为  $T_i$  的一对典范曲线,  $i = 1, 2$ . 由定理 3.2 可知,  $\gamma = r\alpha_1 + s\beta_1 \in H_1(\partial T_1)$ ,  $\gamma = \varepsilon(rq - sp)\alpha_2 + \varepsilon(sp' - rq')\beta_2 \in H_1(\partial T_2)$ , 其中  $\varepsilon = 1$  或  $-1$ ,  $\varepsilon(rq - sp) > 0$ . 由假设条件可知,  $r, |rq - sp| \geq 2$ . 由命题 3.1 和命题 3.2,  $M$  不是实心环体, 且  $A$  是  $M$  中的本质平环. 所以  $T_1$  是标准的  $(r, s)$ - 型纤维化实心环,  $T_2$  是标准的  $(\varepsilon(rq - sp), \varepsilon(sp' - rq'))$ - 型纤维化实心环, 且  $M$  是以圆片为底空间、带有两个奇异纤维的 Seifert 流形  $M(0, 1; (r, s), (\varepsilon(rq - sp), \varepsilon(sp' - rq'))$ .

设  $T$  为实心环体,  $M' = M \cup_h T$  为对  $\mathcal{L}(p, q)$  沿  $\gamma$  作  $m/n$ -Dehn 手术所得流形,  $h: \partial T \rightarrow \partial M$  是满足  $h(\beta') = n\gamma + m\beta$  的同胚, 其中  $\beta'$  和  $\beta$  分别为  $T$  和  $\eta(\gamma)$  的纬线,  $\gamma$  为  $A$  的核曲线 (是  $\gamma$  在  $\mathcal{L}(p, q)$  中的一个平行拷贝) 且是  $M$  的一个正则纤维.

首先, 分别证明 (1), (2) 和 (3) 的必要性.

(1) 假设  $|m| > 1$ . 则  $T$  为标准的  $(m, n)$ - 型纤维化实心环, 故  $M'$  同胚于以 2- 球面  $S^2$  为底空间且带有三个奇异纤维的 Seifert 流形, 即棱镜流形

$$M' \cong M(0, 0; (r, s), (\varepsilon(rq - sp), \varepsilon(sp' - rq')), (m, n)).$$

(2) 假设  $|m| = 1$ . 则  $h(\beta') = n\gamma \pm \beta$ , 且  $\gamma$  是  $T$  的经线, 故  $T$  是  $M'$  中的正常的纤维化实心环. 因此  $M'$  同构于  $M(0, 0; (r, s), (\varepsilon(rq - sp), \varepsilon(sp' - rq')))$ . 由引理 2.4 可知  $M'$  是透镜空间, 记为  $L(p_*, q_*)$ , 其中  $p_* = \begin{vmatrix} r & \varepsilon(rq - sp) \\ -s & \varepsilon(sp' - rq') \end{vmatrix}$ ,  $q_* = \begin{vmatrix} r & p'_2 \\ -s & q'_2 \end{vmatrix}$ ,  $(p'_2, q'_2)$  是  $\begin{vmatrix} \varepsilon(rq - sp) & p'_2 \\ \varepsilon(sp' - rq') & q'_2 \end{vmatrix} = 1$  的一组解. 特别地, 若  $n = 0$ , 则  $h(\alpha') = \pm\gamma + m'\beta$ , 其中  $\alpha'$  是  $T$  的经线, 此时  $M'$  就是透镜空间  $L(p, q)$ .

(3) 假设  $m = 0$ . 因  $n$  和  $m$  是互素的整数, 故  $n = \pm 1$ ,  $h(\beta') = \pm\gamma$ ,  $\gamma$  在  $T$  中界定一个纬圆片. 令  $D_1$  和  $D_2$  为  $\partial A$  在  $T$  中界定的两个平行的纬圆片, 沿  $\{D_1, D_2\}$  切开实心环体  $T$  可得到两个实心球  $E_1$  和  $E_2$ , 使得  $\partial E_i \cap T_i = A_i$  是  $\partial M$  上的平环,  $i = 1, 2$ , 且  $\partial A_1 = \partial A_2 = \partial A$ ,  $A_1 \cup A_2 = \partial M = \partial T$ . 记  $P = A \cup D_1 \cup D_2$ ,  $M'_i = T_i \cup A_i$ ,  $E_i$ ,  $i = 1, 2$ , 则  $P$  为  $M'$  中的分离 2- 球面, 将  $M'$  分为流形  $M'_1$  和  $M'_2$ , 其中  $M'_i$  是沿  $A_i$  往  $T_i$  上粘 2- 把柄所得流形,  $i = 1, 2$ . 因此,  $M'_1$  同胚于从透镜空间  $L(r, s)$  中挖掉一个实心球所得流形,  $M'_2$  同胚于从透镜空间  $L(\varepsilon(rq - sp), \varepsilon(sp' - rq'))$  中挖掉一个实心球所得流形. 故  $M'$  是可约的三维流形, 其约化 2- 球面为  $P$ . 因此  $M'$  是两个透镜空间的连通和, 即

$$M' \cong L(r, s) \# L(\varepsilon(rq - sp), \varepsilon(sp' - rq')).$$

反之, 由定理 2.5, 棱镜流形和透镜空间均是不可约的三维流形. 由定理 2.3 (3), 透镜空间的 Seifert 纤维结构中至多只有两个奇异纤维, 所以棱镜空间与透镜空间一定不同胚. 综上所述, (1), (2) 和 (3) 的充分性得证.

假设  $M = \mathcal{T}(r_1, s_1; r_2, s_2)$ . 由命题 3.1 知  $M$  是实心环体当且仅当  $r_1 = 1$  或  $r_2 = 1$ . 显然实心环体是  $L(p, q)$  中  $(1, s)$ - 环面纽结的补空间. 对于  $r_1, r_2 \geq 2$  的情形, 定理 3.4 分别给出了  $M$  是透镜空间  $L(p, q)$ ,  $S^3$  以及  $S^2 \times S^1$  中  $(r, s)$ - 环面纽结的补空间的充要条件.

**定理 3.4** 假设  $M = \mathcal{T}(r_1, s_1; r_2, s_2)$ .

(1)  $M$  是  $L(p, q)$  中  $(r, s)$ - 环面纽结的补空间当且仅当  $(r_1, s_1) = (r, s)$ ,  $r_2 = \varepsilon(r_1q - s_1p) \geq 2$ ,  $s_2 = \varepsilon(s_1p' - r_1q')$ , 其中  $\varepsilon = \pm 1$ ,  $(p', q')$  是  $|\begin{vmatrix} p & q \\ p' & q' \end{vmatrix}| = \pm 1$  的一组解;

(2)  $M$  是  $S^3$  中  $(r, s)$ - 环面纽结的补空间当且仅当  $(r_1, s_1) = (r, s)$ ,  $r_2 = \varepsilon(r_1q - s_1)$ ,  $s_2 = r_1$ , 其中  $\varepsilon = \pm 1$ ;

(3)  $M$  是  $S^2 \times S^1$  中  $(r, s)$ - 环面纽结的补空间当且仅当  $(r_1, s_1) = (r, s)$ ,  $r_2 = \varepsilon r$ ,  $s_2 = s$ , 其中  $\varepsilon = \pm 1$ .

**证** (1) 假设  $M$  是  $L(p, q)$  中  $(r, s)$ - 环面纽结的补空间,  $T'_1 \cup_{A'} T'_2$  是  $M$  的典型的  $H'$ - 分解. 已知  $r_1, r_2 \geq 2$ , 由命题 3.1,  $M$  不是实心环体, 所以  $A$  和  $A'$  在  $M$  中都是本质的. 由定理 3.1 可知, 本质平环  $A$  和  $A'$  在  $M$  中合痕. 因此, 不失一般性, 我们可以假设  $T'_i = T_i$ ,

$i = 1, 2, A' = A$ , 并且  $(r, s) = (r_1, s_1)$ . 由定理 3.2,  $A$  的核曲线  $\delta$  是关于  $T_1$  的  $(r, s)$ - 曲线, 是关于  $T_2$  的  $(\varepsilon(rq - sp), \varepsilon(sp' - rq'))$ - 曲线, 其中  $\varepsilon = \pm 1, (p', q')$  是  $|\frac{p'}{q'}| = \pm 1$  的一组解.

反之, 充分性可由定理 3.3 (2) 直接得到.

(2) 假设  $M$  是  $S^3$  中  $(r, s)$ - 环面纽结的补空间,  $T'_1 \cup_{A'} T'_2$  是  $M$  的典型的  $H'$ - 分解. 与 (1) 中的证明类似,  $\delta$  是关于  $T_2$  的  $(\varepsilon(rq - s), \varepsilon(rq - s)(-p') \pm r)$ - 曲线. 由命题 2.2 (2),  $\delta$  同胚于  $T_2$  上的  $(\varepsilon(rq - s), r)$ - 曲线. 因此,  $r_2 = \varepsilon(rq - s)$  且  $s_2 = r$ .

因  $S^3 = \mathcal{L}(1, q)$ , 故充分性与 (1) 类似, 可由定理 3.3 (2) 直接得到.

(3) 假设  $M$  是  $S^2 \times S^1$  中  $(r, s)$ - 环面纽结的补空间,  $T'_1 \cup_{A'} T'_2$  是  $M$  的典范的  $H'$ - 分解. 与 (1) 中的证明类似,  $\delta$  是关于  $T_2$  的  $(\varepsilon r, \varepsilon(sp' - rq'))$ - 曲线, 其中  $(p', q')$  是  $|\frac{p'}{q'}| = \pm 1$  的一组解. 故  $p' = \pm 1, \delta$  是关于  $T_2$  的  $(\varepsilon r, \varepsilon r(-q') \pm s)$ - 曲线. 由命题 2.2 (2),  $\delta$  同胚于  $T_2$  上的  $(\varepsilon r, s)$ - 曲线.

因  $S^2 \times S^1 = \mathcal{L}(0, 1)$ , 故充分性与 (1) 类似, 可由定理 3.3 (2) 直接得到.

定理得证.

## 参 考 文 献

- [1] Gordon C, Luecke J. Knots are determined by their Complements [J]. *J Amer Math Soc*, 1989, 2:371–415.
- [2] Norwood F H. Every two-generator knot is prime [J]. *Proc Amer Math Soc*, 1982, 86(1):143–147.
- [3] Hatcher A. Notes on Basic 3-Manifold Topology [M/OL]. <http://www.math.cornell.edu/hatcher>, 2000.
- [4] Bonahon F. Difféotopies des espaces lenticulaires [J]. *Topology*, 1983, 22:305–314.
- [5] Jankins M, Neumann W D. Lectures on Seifert manifolds [M]// Brandeis lecture notes 2, Waltham MA: Brandeis University, 1983.
- [6] Geiges H, Lange C. Seifert fibrations of lens spaces [J]. *Abh Math Sem Univ Hamburg*, 2018, 88:1–22.
- [7] Geiges H, Lange C. Seifert fibrations of lens spaces over non-orientable bases [J]. *Abh Math Sem Univ Hamburg*, 2021, 91:145–150.
- [8] Moser L. Elementary surgery along a torus knot [J]. *Pac J Math.*, 1971, 38:737–745.
- [9] Gabai D. Foliations and topology of 3-manifolds III [J]. *J Differ Geom*, 1987, 26:479–536.

- [10] Bleiler S, Litherland R. Lens spaces and Dehn surgery [J]. *Proc Amer Math Soc*, 1989, 107(4):1127–1131.
- [11] Wang S. Cyclic surgery on knots [J]. *Proc Amer Math Soc*, 1989, 107(4):1091–1094.
- [12] Wu Y Q. Cyclic surgery and satellite knots [J]. *Topology Appl*, 1990, 36(3):205–208.
- [13] Jaco W. Lectures on three manifold topology [M]// CBMS Regional Conference Series in Mathematics, Providence: Amer Math Soc, 1980, No 43.
- [14] Scharlemann M. Heegaard splittings of compact 3-manifolds [M]// Handbook of Geometric Topology, Amsterdam: North-Holland, 2002:921–953.
- [15] Gao Y, Li F, Liang L, et al. Weakly reducible  $H'$ -splittings of 3-manifolds [J]. *J Knot Theor Ramif*, 2021, 30(10):2140004.
- [16] Jaco W. Adding a 2-handle to a 3-manifold: An application to property R [J]. *Proc Amer Math Soc*, 1984, 92:288–292.
- [17] Lei F. Some properties of an annulus sum of 3-manifolds [J]. *Northeast Math J*, 1994, 10:325–329.
- [18] Rolfsen D. Knots and links [M]. Houston: Publish or Perish Inc, 1990.
- [19] Waldhausen F. Heegaard-Zerlegungen der 3-Sphäre [J]. *Topology*, 1968, 7:195–203.

## On Torus Knots in 3-Manifolds with Genus One Heegaard Splitting

XU Yan<sup>1</sup> LEI Fengchun<sup>1</sup> LI Fengling<sup>2</sup> LIANG Liang<sup>3</sup>

<sup>1</sup>School of Mathematical Sciences, Dalian University of Technology, Dalian 116024, Liaoning, China.

E-mail: xuyannn@yeah.net; fclei@dlut.edu.cn

<sup>2</sup>Corresponding author. School of Mathematical Sciences, Dalian University of Technology, Dalian 116024, Liaoning, China.

E-mail: fenglingli@dlut.edu.cn

<sup>3</sup>School of Mathematics, Liaoning Normal University, Dalian 116029, Liaoning, China. E-mail: liang\_liang@aliyun.com

**Abstract** Let  $M = \mathcal{L}(p, q)$  be a 3-manifold which admits a Heegaard splitting  $T'_1 \cup_F T'_2$  of genus 1, where  $p$  and  $q$  are co-prime integers, and a meridian curve of  $T'_2$  has the slope  $s = q/p$  on  $T'_1$ . A simple closed curve  $\gamma$  on the torus  $F$  is called a torus knot in  $M$  if

it is non-trivial in  $M$ . The main results of the paper are as follows: the authors classify the manifolds obtained by performing a  $m/n$ -Dehn surgery along a torus knot in  $M$ , and describe the characteristics for the manifold obtained by gluing two solid tori together along an annulus on the boundary of each solid torus to be a torus knot complement in  $\mathcal{L}(p, q)$ .

**Keywords**  $H'$ -Splitting, Lens space, Torus knot, Seifert manifold

**2000 MR Subject Classification** 57N10

The English translation of this paper will be published in

**Chinese Journal of Contemporary Mathematics, Vol. 45 No. 1, 2024**

by ALLERTON PRESS, INC., USA